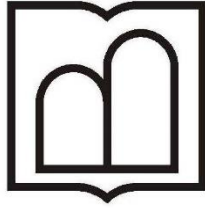


بِسْمِ اللَّهِ الرَّحْمَنِ الرَّحِيمِ



دانشگاه علوم پزشکی و خدمات بهداشتی درمانی اردبیل
دانشکده داروسازی

پایان نامه جهت دریافت درجه دکتراى حرفه‌ای داروسازی

عنوان:

سنتز و بررسی اثر سایتوتوکسیک مشتقات جدید او^۲و او^۳و او^۴-تتراهیدروپیریمیدین ۶-کربوکسیلیک
اسید علیه رده سلولی AGS و بررسی چرخه سلولی

اساتید راهنما

دکتر ساقی سپهری

دکتر یاسین پناهی

نگارش

مهسا جعفری

شماره پایان نامه:

۲۱۳-د

اردیبهشت ۱۴۰۳

تقدیم به

پدر، مادر و خواهر عزیزم به پاس گرمای امیدبخش وجودشان
و به تمامی آزاداندیشان، دانشمندان، بزرگان و جوانمردانی که نیک می اندیشند و عقل و خرد را پیشه خود
نموده و جز پیشرفت و سعادت جامعه، هدفی ندارند.

از استاد بزرگوارم سرکارخانم دکتر ساقی سپهری برای تمامی حمایت‌ها و زحمات بی دریغ‌شان سپاسگزاری می‌کنم. به راستی انجام این پایان‌نامه بدون راهنمایی‌های مدبرانه، پیگیری‌های دلسوزانه و تشویق‌های امیدبخش ایشان میسر نبود. از استاد محترم جناب آقای دکتر یاسین پناهی که زحمت زیادی برای تحقق این پایان‌نامه کشیدند، متشکرم. همچنین از همکاری‌ها و راهنمایی‌های آقای دکتر واحد ادهمی بی‌نهایت سپاسگزارم. و در پایان از تمامی عزیزانی که در طول انجام این پروژه مرا یاری کرده‌اند، کمال تشکر و قدردانی را ابراز می‌نمایم.

چکیده فارسی

مقدمه

سرطان یک بیماری پیچیده است که در آن یک سری تغییرات ژنومی و مولکولی باعث رشد و تکثیر کنترل نشده سلول‌ها می‌شود. در میان انواع سرطان، سرطان معده یکی از علل اصلی مرگ و میر در دهه‌های اخیر است. به همین جهت کشف ترکیبات جدید ضد سرطان بزرگترین هدف پژوهشگران می‌باشد. با توجه به نتایج خوب مطالعات پیشین بر روی مشتقات تتراهیدروپیریمیدینی علیه رده‌های سلولی سرطانی مختلف و علی‌الخصوص AGS، در این پروژه مشتقاتی از این دسته ترکیبات طراحی و سنتز شد و سپس اثرات سمیت سلولی آن‌ها مورد ارزیابی قرار گرفت.

مواد و روش‌ها

در این پروژه تعدادی از مشتقات تتراهیدروپیریمیدینی با استفاده از روش بیجینی سنتز شدند و پس از شناسایی و تایید ساختاری آن‌ها با روش‌های طیف‌سنجی $^1\text{H-NMR}$ ، $^{13}\text{C-NMR}$ ، FT-IR و MS انجام شد. سپس سمیت سلولی ترکیبات بر روی رده سلولی سرطانی معده (AGS) مورد ارزیابی قرار گرفت و آنالیز اثر ترکیبات سنتز شده بر روی آپوپتوز و چرخه سلولی انجام شد.

نتایج

با توجه به نتایج، ترکیب ۵-برومو-۶-(۳-دی‌متوکسی فنیل)-۲-اکسو-۱-ا و ۳-ا و ۶-تتراهیدروپیریمیدین-۴-کربوکسیلیک اسید (M3) و ۵-برومو-۶-(۴-هیدروکسی-۳-متوکسی فنیل)-۲-اکسو-۱-ا و ۳-ا و ۶-تتراهیدروپیریمیدین-۴-کربوکسیلیک اسید (M4) بهترین اثر سمیت سلولی را نسبت به ترکیبات دیگر در رده سلولی AGS داشته‌اند (M3:IC₅₀=69.60±5.08μM)، (M4:IC₅₀=73.80±5.20μM). این ترکیبات حاوی گروه برم در موقعیت کربن شماره پنج حلقه تتراهیدروپیریمیدین خود هستند. همچنین نتایج نشان داد که M3 بهترین ترکیب در القای آپوپتوز و ترکیب M4 بهترین ترکیب در افزایش بیان ژن CDKN2A بود.

بحث و نتیجه‌گیری

بررسی رابطه ساختار و فعالیت ترکیبات نشان می‌دهد که حضور استخلاف برم در موقعیت کربن شماره پنج حلقه تتراهیدروپیریمیدین به علت خاصیت الکترون‌کشندگی و لیپوفیلیسیته بالا نسبت به متیل باعث افزایش اثر گشته و در مورد استخلاف‌های موجود بر روی حلقه فنیل احتمالاً می‌توان گفت وجود استخلاف الکترون‌کشنده و لیوفیل در موقعیت پارای حلقه فنیل موجب افزایش اثر سمیت سلولی ترکیب می‌شود؛ اما وجود استخلاف به صورت همزمان در موقعیت پارا و متای حلقه فنیل احتمالاً به علت تغییر کانفورماسیون و تشکیل پیوند هیدروژنی درون مولکولی بین گروه دهنده و گیرنده هیدروژن و احتمالاً کاهش میزان درگیری با جایگاه فعال، باعث کاهش اثر می‌گردد.

کلیدواژه: سرطان، تتراهیدروپیریمیدین، سمیت سلولی، آپوپتوز، چرخه سلولی

فصل اول: مقدمه.....	۱
۱-۱- تعریف سرطان	۲
۲-۱- تاریخچه سرطان	۲
۳-۱- پاتوزنز سرطان	۲
۱-۳-۱- بیولوژی تومور.....	۳
۴-۱- اپیدمیولوژی سرطان	۴
۱-۴-۱- اپیدمیولوژی سرطان در ایران.....	۵
۵-۱- تاثیر سرطان بر چرخه سلولی	۶
۶-۱- نقش آپوپتوز در پاتوزنز سرطان	۸
۷-۱- عوامل پرخطر برای سرطان	۱۰
۸-۱- درمان سرطان	۱۰
۱-۸-۱- جراحی.....	۱۱
۲-۸-۱- پرتودرمانی.....	۱۱
۳-۸-۱- شیمی درمانی.....	۱۲
۴-۸-۱- ایمنی درمانی.....	۱۲
۵-۸-۱- هورمون درمانی.....	۱۴
۶-۸-۱- درمان های پیشرفته و مدرن سرطان.....	۱۴
۹-۱- سرطان معده	۱۵

۱۶	۱-۹-۱- اپیدمیولوژی سرطان معده.....
۱۷	۲-۹-۱- عوامل خطر سرطان معده.....
۱۸	۳-۹-۱- درمان سرطان معده.....
۱۹	۱۰-۱- واکنش‌های چند جزئی و روش بیجینلی.....
۲۰	۱۱-۱- تتراهیدروپیریمیدین‌ها (THPMs).....
۲۲	۱۲-۱- مروری بر مطالعات انجام شده در خصوص اثر ضد سرطانی ترکیبات تتراهیدروپیریمیدینی.....
۲۷	فصل دوم : مواد، دستگاه‌ها و روش‌ها.....
۲۸	۱-۲- نوع مطالعه.....
۲۸	۲-۲- مکان انجام مطالعه.....
۲۸	۳-۲- مواد و تجهیزات مصرفی.....
۲۸	۱-۳-۲- مواد و تجهیزات استفاده شده در بخش سنتز.....
۲۹	۲-۳-۲- مواد و تجهیزات استفاده شده در بخش ارزیابی‌های زیستی.....
۳۰	۴-۲- دستگاه‌ها.....
۳۲	۵-۲- رده سلولی استفاده شده در ارزیابی‌های زیستی.....
۳۲	۶-۲- نرم افزارها.....
۳۲	۷-۲- نحوه سنتز ترکیبات.....
۳۲	۱-۷-۲- روش سنتز کاتالیزور کبالت هیدروژن سولفات $Co(HSO_4)_2$
M1-	۲-۷-۲- روش کلی سنتز مشتقات ۶-آریل-۵-متیل-۲-اکسو-۱و۲و۳و۶-تتراهیدروپیریمیدین-۴-کربوکسیلیک اسید (M1-)
۳۳	(M8).....

۲-۷-۱- روش سنتز ۶-(۳و۴-دی متوکسی فنیل)-۵-متیل-۲-اکسو-۱و۲و۳و۶-تتراهیدروپیریمیدین-۴-کربوکسیلیک

اسید (M1)..... ۳۳

۲-۷-۲- روش سنتز ۶-(۴-هیدروکسی-۳-متوکسی فنیل)-۵-متیل-۲-اکسو-۱و۲و۳و۶-تتراهیدروپیریمیدین-۴-

کربوکسیلیک اسید (M2)..... ۳۴

۲-۷-۳- روش سنتز ۵-برومو ۶-(۳و۴-دی متوکسی فنیل) -۲-اکسو-۱و۲و۳و۶-تتراهیدروپیریمیدین-۴-کربوکسیلیک

اسید (M3)..... ۳۴

۲-۷-۴- روش سنتز ۵-برومو- ۶-(۴-هیدروکسی-۳-متوکسی فنیل) -۲-اکسو-۱و۲و۳و۶-تتراهیدروپیریمیدین-۴-

کربوکسیلیک اسید (M4)..... ۳۴

۲-۷-۵- روش سنتز ۵-متیل- ۶-(۴-نیترو فنیل)- ۲-اکسو-۱و۲و۳و۶-تتراهیدروپیریمیدین-۴-کربوکسیلیک اسید

(M5)..... ۳۵

۲-۷-۶- روش سنتز ۶-(۴-برومو فنیل)-۵-متیل-۲-اکسو-۱و۲و۳و۶-تتراهیدروپیریمیدین-۴-کربوکسیلیک اسید (M6)

..... ۳۵

۲-۷-۷- روش سنتز ۶-(۴-هیدروکسی فنیل)-۵-متیل-۲-اکسو-۱و۲و۳و۶-تتراهیدروپیریمیدین-۴-کربوکسیلیک اسید

(M7)..... ۳۵

۲-۷-۸- روش سنتز ۶-(۳-توکسی-۴-هیدروکسی فنیل)-۵-متیل-۲-اکسو-۱و۲و۳و۶-تتراهیدروپیریمیدین-۴-

کربوکسیلیک اسید (M8)..... ۳۶

۲-۸-۱- شناسایی و تایید ساختار ترکیبات سنتز شده با استفاده از روش‌های طیف سنجی ۳۶

۲-۸-۱- طیف سنجی مادون قرمز (FT-IR)..... ۳۷

۲-۸-۲- طیف سنجی رزونانس مغناطیس هسته (NMR)..... ۳۸

۲-۸-۳- طیف سنجی جرمی (MS)..... ۳۹

- ۲-۹-۹- ارزیابی زیستی ۴۰
- ۲-۹-۱- روش بررسی سمیت سلولی ترکیبات سنتز شده بر روی رده سلولی سرطان معده (AGS) ۴۰
- ۲-۹-۱-۱- استرلیزاسیون ۴۰
- ۲-۹-۱-۲- ذوب کردن ویال حاوی سلول ۴۱
- ۲-۹-۱-۳- آزمایش MTT ۴۱
- ۲-۹-۲- آنالیز آپوپتوز سلولهای تحت تیمار با ترکیبات شیمیایی سنتز شده ۴۳
- ۲-۹-۳- آنالیز چرخه سلولی سلولهای تحت تیمار با ترکیبات شیمیایی سنتز شده از طریق بیان ژن مرتبط با چرخه سلولی (CDKN2A) ۴۴
- ۲-۱۰-۱- آنالیز آماری ۴۵

فصل سوم : نتایج ۴۶

- ۳-۱- شناسایی، تایید ساختار و مقادیر ترکیبات سنتز شده ۴۷
- ۳-۱-۱- ترکیب ۶-(۳و۴-دی متوکسی فنیل)-۵-متیل-۲-اکسو-۱و۲و۳و۶-تتراهیدروپیریمیدین-۴-کربوکسیلیک اسید (M1) ۴۷
- ۳-۱-۲- ترکیب ۶-(۴-هیدروکسی-۳-متوکسی فنیل)-۵-متیل-۲-اکسو-۱و۲و۳و۶-تتراهیدروپیریمیدین-۴-کربوکسیلیک اسید (M2) ۴۸
- ۳-۱-۳- ترکیب ۵-برومو-۶-(۳و۴-دی متوکسی فنیل)-۲-اکسو-۱و۲و۳و۶-تتراهیدروپیریمیدین-۴-کربوکسیلیک اسید (M3) ۴۹
- ۳-۱-۴- ترکیب ۵-برومو-۶-(۴-هیدروکسی-۳-متوکسی فنیل)-۲-اکسو-۱و۲و۳و۶-تتراهیدروپیریمیدین-۴-کربوکسیلیک اسید (M4) ۵۰
- ۳-۱-۵- ترکیب ۵-متیل-۶-(۴-نیترو فنیل)-۲-اکسو-۱و۲و۳و۶-تتراهیدروپیریمیدین-۴-کربوکسیلیک اسید (M5) ۵۱

۳-۱-۶- ترکیب ۶-(۴-برومو فنیل)-۵-متیل-۲-اکسو-۱ و ۲ و ۳-۶-تتراهیدروپیریمیدین-۴-کربوکسیلیک اسید (M6)..... ۵۲

۳-۱-۷- ترکیب ۶-(۴-هیدروکسی فنیل)-۵-متیل-۲-اکسو-۱ و ۲ و ۳-۶-تتراهیدروپیریمیدین-۴-کربوکسیلیک اسید (M7).....

۵۳.....

۳-۱-۸- ترکیب ۶-(۳-اتوکسی-۴-هیدروکسی فنیل)-۵-متیل-۲-اکسو-۱ و ۲ و ۳-۶-تتراهیدروپیریمیدین-۴-کربوکسیلیک

اسید (M8)..... ۵۴

۳-۲- بررسی اثرات بیولوژیک ترکیبات سنتز شده ۵۴

۳-۲-۱- ارزیابی نتایج سمیت سلولی ترکیبات سنتز شده بر روی رده سلولی سرطان معده (AGS)..... ۵۵

۳-۲-۲- نتایج آنالیز آپتوز ۵۶

۳-۲-۳- نتایج آنالیز مولکولی..... ۵۸

فصل چهارم : بحث و نتیجه گیری..... ۵۹

۴-۱- بحث و نتیجه گیری ۶۰

۴-۱-۱- روش کلی سنتز مشتقات ۶-آریل-۵-متیل-۲-اکسو-۱ و ۲ و ۳-۶-تتراهیدروپیریمیدین-۴-کربوکسیلیک اسید (M1-)

(M8)..... ۶۰

۴-۱-۲- مکانیسم سنتز مشتقات ۶-آریل-۵-متیل-۲-اکسو-۱ و ۲ و ۳-۶-تتراهیدروپیریمیدین-۴-کربوکسیلیک اسید (M1-)

(M8)..... ۶۰

۴-۲- بررسی طیف سنجی ترکیبات ۶۱

۴-۲-۱- طیف سنجی مادون قرمز (FT-IR)..... ۶۱

۴-۲-۲- طیف سنجی رزونانس مغناطیس هسته (¹H-NMR)..... ۶۴

۴-۲-۳- طیف سنجی جرمی (MS)..... ۶۵

۴-۳- ارزیابی زیستی ۶۸

۶۸	۱-۳-۴- مقایسه و بررسی ساختار و اثرات بیولوژیک ترکیبات سنتز شده
۷۵	۲-۳-۴- آنالیز آپتوز
۷۵	۳-۳-۴- آنالیز مولکولی
۷۶	۴-۴- نتیجه گیری
۷۸	۵-۴- پیشنهادات
۷۹	منابع و مأخذ
۸۴	پیوست‌ها
۱۲۵	Abstract

فهرست عکس‌ها و نمودارها

- شکل ۱-۱ توزیع انواع اصلی سرطان (هر دو جنس) در سطح جهانی و ارزیابی تنوع جغرافیایی..... ۴
- شکل ۲-۱ روند اپیدمیولوژیک تخمین زده شده توسط WHO برای پنج علت اصلی مرگ، از سال ۲۰۱۶ تا ۲۰۶۰..... ۵
- شکل ۳-۱ شایع‌ترین سرطان‌ها در ایران (هر دو جنس)..... ۶
- شکل ۴-۱ چرخه سلولی دارای چهار مرحله است: G1 (Gap1)، S (سنتز) و G2 (Gap2) و M (میتوز). در پایان فاز G1، سلول‌ها از نقطه محدودیت عبور می‌کنند. مکانیسم‌های نظارتی پیچیده در چندین نقطه از چرخه سلولی عمل می‌کنند و هنگامی که یک ناهنجاری تشخیص داده می‌شود، متوقف می‌شود..... ۸
- شکل ۵-۱ نقش آپوپتوز در پاتوژنز سرطان..... ۹
- شکل ۶-۱ نمودار شماتیکی که اصول اولیه شیمی درمانی (A)، کلاس‌های مختلف داروهای شیمی درمانی (B) و مکانیسم‌های ایمنی درمانی و هدف قرار دادن سلول‌های سرطانی (C) را نشان می‌دهد..... ۱۳
- شکل ۷-۱ ساختار شیمیایی داروی فلوکسی مسترون، فلوتامید و تاموکسیفن..... ۱۴
- شکل ۸-۱ گسترش سلول‌های سرطانی معده..... ۱۵
- شکل ۹-۱ شیوع انواع سرطان در ایران..... ۱۷
- شکل ۱۰-۱ ساختار شیمیایی داروهای ۵-فلورو اوراسیل و لکوورین کلسیم..... ۱۸
- شکل ۱۱-۱ ساختار شیمیایی داروهای سیکلوفسفامید، پردنیزولون و دوکسوروبیسین..... ۱۹
- شکل ۱۲-۱ سنتز ترکیبات تتراهیدروپیریمیدین (واکنش بیجینلی)..... ۲۰
- شکل ۱۳-۱ ساختار شیمیایی داروی نیفدیپین..... ۲۱
- شکل ۱۴-۱ رنگ‌آمیزی ایمونوفلورسانس. سلول‌های شاهد به مدت ۴ ساعت با ۰.۴٪ DMSO (a و b) یا ۶۸ میکرومولار مونسترول (c و d) تیمار شدند. تفاوتی در توزیع میکروتوبول‌ها و کروماتین در سلول‌های اینترفاز (b و d) مشاهده نشد. درمان سلول‌های میتوزی با مونسترول، دوک دوقطبی طبیعی (a) را با یک آرایه میکروتوبولی که توسط کروموزوم‌ها (c) احاطه شده است، جایگزین می‌کند..... ۲۲
- شکل ۱۵-۱ ساختار شیمیایی ترکیب مونسترول..... ۲۲

- شکل ۱-۱۶ ساختار شیمیایی آنالوگ های مختلف مونسترول با اثر بخشی بهتر..... ۲۳
- شکل ۱-۱۷ ساختار شیمیایی ترکیب موثر بر رده های سلولی HeLa و MCF-7..... ۲۴
- شکل ۱-۱۸ ساختار شیمیایی ترکیب موثر بر رده های سلولی A549، HepG-2، MCF-7..... ۲۴
- شکل ۱-۱۹ ساختار شیمیایی ترکیب موثر بر رده های سلولی MCF-7، HepG-2، AGS..... ۲۵
- شکل ۱-۲۰ ساختار شیمیایی و IC_{50} ترکیبات موثر بر رده ی سلولی HeLa..... ۲۶
- شکل ۱-۲۱ توزیع فاز های مختلف چرخه سلولی در سلول های شاهد (A) و سلول های تیمار شده با غلظت های IC_{50} و $2IC_{50}$ به مدت ۲۴ ساعت (B)..... ۲۶
- شکل ۲-۱ انواع ارتعاشات مولکولی..... ۳۷
- شکل ۳-۱ نمودارهای دوز-پاسخ ترکیبات سنتز شده بر اساس میزان بقای سلول ها در ۲۴ ساعت..... ۵۶
- شکل ۳-۲ هیستوگرام فلوسیتومتری سلول های AGS تیمار شده با ترکیبات انتخابی (M3 و M4) به مدت ۲۴ ساعت در مقابل کنترل مثبت و منفی..... ۵۷
- شکل ۳-۳ سطوح بیان ژن های P53، CDKN2A و کاسپاز ۸-۹ پس از تیمار سلول های AGS با ترکیبات انتخابی (M3 و M4) به مدت ۲۴ ساعت..... ۵۸
- شکل ۴-۱ سنتز کلی مشتقات ۶-آریل-۵-متیل-۲-اکسو-۱ و ۲ و ۳-تتراهیدروپیریمیدین-۴-کربوکسیلیک اسید..... ۶۰
- شکل ۴-۲ مکانیسم سنتز مشتقات ۶-آریل-۵-متیل-۲-اکسو-۱ و ۲ و ۳-تتراهیدروپیریمیدین-۴-کربوکسیلیک اسید..... ۶۱
- شکل ۴-۳ طیف FT-IR ترکیب ۵-برومو-۶-(۳-دی متوکسی فنیل)-۲-اکسو-۱ و ۲ و ۳-تتراهیدروپیریمیدین-۴-کربوکسیلیک اسید (M3)..... ۶۳
- شکل ۴-۴ طیف ^1H-NMR ترکیب ۵-برومو-۶-(۳-دی متوکسی فنیل)-۲-اکسو-۱ و ۲ و ۳-تتراهیدروپیریمیدین-۴-کربوکسیلیک اسید (M3)..... ۶۵
- شکل ۴-۵ قطعات شکسته شده ترکیب ۵-برومو-۶-(۳-دی متوکسی فنیل)-۲-اکسو-۱ و ۲ و ۳-تتراهیدروپیریمیدین-۴-کربوکسیلیک اسید (M3) در طیف سنجی جرمی..... ۶۷

- شکل ۴-۶ طیف سنجی جرمی ترکیب ۵-برومو-۶-(۳و۴-دی متوکسی فنیل) -۲-اکسو-۱و۲و۳و۶-
 تتراهیدروپیریمیدین-۴-کربوکسیلیک اسید (M3).....۶۸
- شکل ۴-۷ مقایسه ساختار شیمیایی ترکیب M1 و M2.....۶۹
- شکل ۴-۸ مقایسه ساختار شیمیایی ترکیب M1 و M3.....۷۰
- شکل ۴-۹ مقایسه ساختار شیمیایی ترکیب M2 و M7.....۷۰
- شکل ۴-۱۰ مقایسه ساختار شیمیایی ترکیب M1 و M5.....۷۱
- شکل ۴-۱۱ مقایسه ساختار شیمیایی ترکیب M2 و M8.....۷۲
- شکل ۴-۱۲ مقایسه ساختار شیمیایی ترکیبات M5، M6 و M7.....۷۳
- شکل ۴-۱۳ مقایسه ساختار شیمیایی ترکیبات M3 و M4.....۷۴
- شکل ۴-۱۴ بررسی رابطه‌ی ساختار و اثر ترکیب موثر بر رده سلولی سرطان معده (AGS) با بالاترین میزان اثربخشی ۷۴

فهرست جدول‌ها

- جدول ۱-۲. لیست مواد و تجهیزات مورد استفاده در بخش سنتز..... ۲۸
- جدول ۲-۲. لیست مواد و تجهیزات مورد استفاده در بخش ارزیابی زیستی..... ۲۹
- جدول ۳-۲. لیست دستگاه‌های مورد استفاده..... ۳۰
- جدول ۴-۲. لیست نرم افزارهای مورد استفاده..... ۳۲
- جدول ۱-۳. IC_{50} (μM) ترکیبات سنتز شده بر روی رده سلولی سرطان معده (AGS)..... ۵۵

GC: cancer Gastric

EBV: Epstein Barr Virus

5-FU: 5-Fluorouracil

MCR: Multicomponent reaction

THPMs: Tetrahydropyrimidine

PBS: Phosphate buffer solution

FBS: Fetal Bovine Serum

FT-IR: Fourier Transform- Infrared Spectroscopy

$^1\text{H-NMR}$: ^1H -Nuclear Magnetic Resonance

$^{13}\text{C-NMR}$: ^{13}C -Nuclear Magnetic Resonance

GC-MS: Gas Chromatography–Mass Spectrometer

MTT: Measure cellular metabolism

RPMI1640: Rosewall Park Memorial Institute 1640

DMSO: Dymethyl sulfoxide

IC_{50} : Inhibitory Concentration

CDKN2A: Cyclin dependent kinases

RT-qPCR: Reverse transcription polymerase chain reaction

$2^{-\Delta\Delta\text{CT}}$: The $2^{-\Delta\Delta\text{CT}}$ method is a convenient way to analyze the relative changes in gene expression from real time quantitative PCR experiments